

BOLETÍN OCEANOGRÁFICO

Semana 13: del 23 al 29 de marzo de 2026

Milena Pizarro Revello, Darly Alarcón Paredes
Departamento de Oceanografía y Medio Ambiente (DOMA)

Condición a escala regional:

En el Pacífico ecuatorial, La Niña continuó durante febrero 2026, pero mostrando señales de debilitamiento y propias de un proceso de transición a condición ENOS neutral que se espera se consolide en marzo, y que se mantenga hasta mayo-julio (probabilidad del 55%). Posteriormente en el periodo junio-agosto se favorecería el surgimiento de El Niño (probabilidad del 62%) lo que se mantendría hasta fin de año (NOAA, 2026). Las ATSM en la región Niño_{3,4} (**Figura 1, Pacífico central**) indicaron una condición fría (-0,7°C a -0,5°C) desde noviembre de 2025 a enero de 2026, ya que, en febrero este indicador retrocedió a un valor neutral, -0,2°C. En tanto, en la región Niño₁₊₂ (**Figura 1, costa de Ecuador y norte de Perú**), las ATSM señalaron condiciones neutrales desde septiembre de 2025, pero en febrero cambiaron a una condición cálida (+0,9°C).

En la actual semana: El **Sistema de Advertencia, Pronóstico y Observación (SAPO)** de IFOP muestra que, al 31 de marzo en la franja ecuatorial se mantiene la condición cálida de la semana anterior (**Figura 2**), al igual que en el Pacífico sudamericano (+1°C). En la costa en tanto, se observaron focos con anomalías cálidas de hasta +5°C entre Ecuador y norte de Perú, debilitándose hasta +1°C a la altura de Lima. Hacia el sur, y hasta los 36,1°S en la costa se intercalaron focos cálidos y fríos. Por otra parte, se mantuvo el foco frío (-0,5°C a -1°C) ubicado a la altura de la Boca del Guafo, y aumentó su cobertura ingresando tanto hacia el golfo Corcovado como hacia el canal Moraleda.

Condición semanal en la costa chilena:

En la **ZONA NORTE (Figura 1a)**, la costa se mantuvo cálida (**Figura 3**), aunque debilitada respecto de la semana anterior, con ATSM promedio semanal de +1,5°C en la subzona norte y +1°C en la subzona sur. La distribución semanal de la ATSM (**Figura 1a, panel derecho**) mostró una disminución en la cobertura de ATSM positivas en la costa, manteniéndose el foco al norte de los 19,5°S, en el área de los 21°S y de los 23°S; en tanto en los 22°S, apareció un foco de ATSM negativas. En el sector oceánico se mantuvieron las ATSM positivas, aunque debilitadas. En resumen, la **ZONA NORTE** mantiene condiciones cálidas en la costa y sector oceánico.

En la **ZONA CENTRO-NORTE (Figura 1b)**, la costa de la subzona norte se mantuvo cálida (**Figura 3**), con un promedio semanal de ATSM de +1,1°C, mientras que en la subzona sur la condición neutra cambió a fría, con un promedio de -0,9°C. La distribución espacial de la ATSM en la costa (**Figura 1b, panel derecho**) mostró un predominio de valores positivos al norte de 28°S, con focos entre +0,5°C y +1,5°C, mientras que, hacia el sur de los 29°S, predominaron ATSM negativas con focos entre -0,5°C y -1,5°C. En el sector oceánico se debilitó la condición cálida de las semanas anteriores. En resumen, la **ZONA CENTRO-NORTE** presentó una condición cálida en la costa de la subzona norte y fría en la subzona sur. El sector oceánico se mantuvo cálido.

En la **ZONA CENTRO-SUR (Figura 1c)**, la costa mantuvo una condición neutral en la subzona norte (**Figura 3**), con un promedio de ATSM semanal de $+0,2^{\circ}\text{C}$, mientras que, la subzona sur transitó de neutra a cálida con un promedio de $+0,8^{\circ}\text{C}$. La distribución de ATSM (**Figura 1c, panel derecho**) mantuvo el foco cálido de $+1,5^{\circ}\text{C}$ entre los 32°S - 33°S , valores que también predominaron al sur de los 36°S . En los 35°S se registró un foco frío de $-0,5^{\circ}\text{C}$. En el sector oceánico la condición se mantuvo cálida y con mayores intensidades al norte de los 37°S ($+0,5^{\circ}\text{C}$ a $+2,5^{\circ}\text{C}$). En resumen, durante la semana 13 la costa de la **ZONA CENTRO-SUR** presentó una condición neutral en la subzona norte y cálida en la subzona sur. El sector oceánico se mantuvo cálido.

En la **ZONA SUR (Figura 1d)**, la condición oceanográfica cambió en la subzona norte de cálida a neutra (**Figura 3**), con ATSM de $-0,4^{\circ}\text{C}$, mientras que la subzona sur se mantuvo neutral con un promedio de $-0,3^{\circ}\text{C}$. El mapa de distribución de ATSM (**Figura 1d, panel derecho**) presentó focos de ATSM negativas de $-0,5^{\circ}\text{C}$ al norte de los $42,5^{\circ}\text{S}$ y al sur de los 44°S . En resumen, en la **ZONA SUR** la condición fue neutra.

Evolución en las últimas 20 semanas (Figura 3)

Durante el período analizado, de noviembre de 2025 a marzo de 2026, la zona costera del país ha fluctuado principalmente entre condición neutra y cálida, siendo esta última condición la que ha predominado en el periodo.

ZONA NORTE: En la **subzona norte**, se observó una condición inestable en noviembre, neutra y fría desde la última semana, condición que se extendió hasta la cuarta semana de diciembre. Desde mediados de enero 2026, la condición cambió a cálida. Por el contrario, la **subzona sur** desde noviembre mantuvo una condición predominantemente neutra, cambiando a cálida desde la primera semana de febrero. Toda la zona aumentó a cálido intenso desde la segunda mitad de febrero.

ZONA CENTRO NORTE: En este período en ambas subzonas han predominado condiciones cálidas, con un carácter intenso en la mayoría de las semanas hasta la primera semana de febrero. Posteriormente solo la **subzona norte** permaneció cálida intensa, ya que en la **subzona sur** desde la segunda semana de febrero la condición fue neutral, cambiando a fría recién en la cuarta semana de marzo.

ZONA CENTRO-SUR: Una condición cálida ha predominado hasta la segunda semana de marzo en toda la zona, con la excepción de algunas semanas con condición neutra.

ZONA SUR: Esta zona presentó condiciones cálidas hasta inicios de enero 2026, con carácter intenso en diciembre. Después del periodo señalado, en ambas subzonas han predominado valores neutrales.

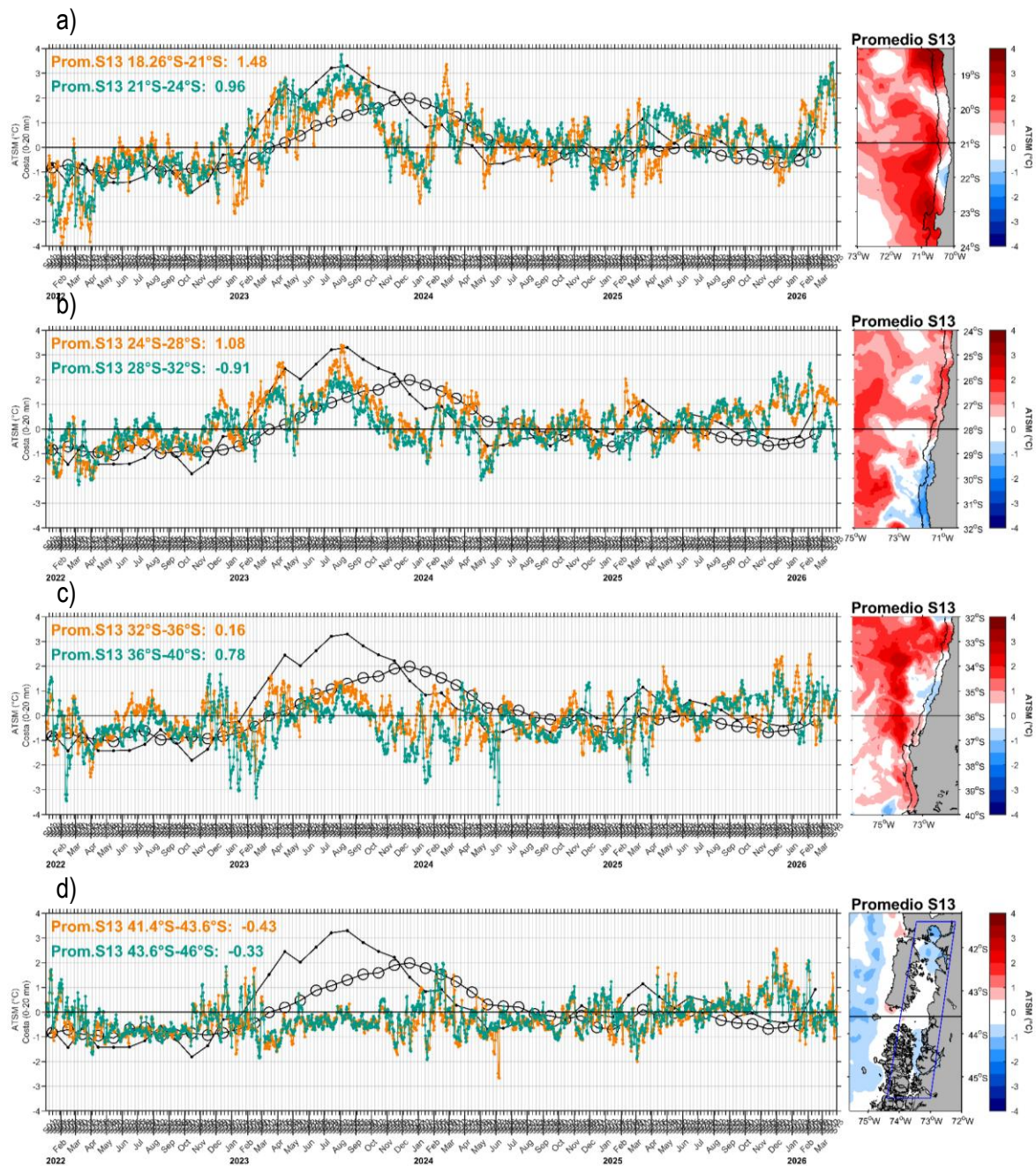


Figura 1. Series de tiempo diarias del promedio de la ATSM registrada en las primeras 20 mn de la costa (panel izquierdo), de las zonas de Chile: a) NORTE, b) CENTRO-NORTE, c) CENTRO-SUR, y d) SUR. Cada zona fue dividida en las subzonas Norte (línea naranja) y Sur (línea verde). Se incluye el valor promedio de ATSM semanal de cada subzona. La línea negra es la serie promedio mensual de ATSM de la región Niño₁₊₂ y con círculos es la ATSM de la región Niño_{3,4}. El panel derecho muestra la distribución espacial de la ATSM durante la semana 13 (23 al 29 de marzo de 2026). La línea negra horizontal divide la zona en subzonas norte y sur. La línea negra punteada paralela a la costa indica las primeras 20 mn de donde se obtiene el valor de ATSM promedio diario y semanal, excepto en el área del mar interior que utiliza el área del recuadro azul. Los datos de las ATSM fueron extraídos del producto

MUR, y fueron calculados en base a la climatología de TSM satelital del periodo 2002 - 2026, provenientes de la plataforma SAPO-Chile (IFOP).

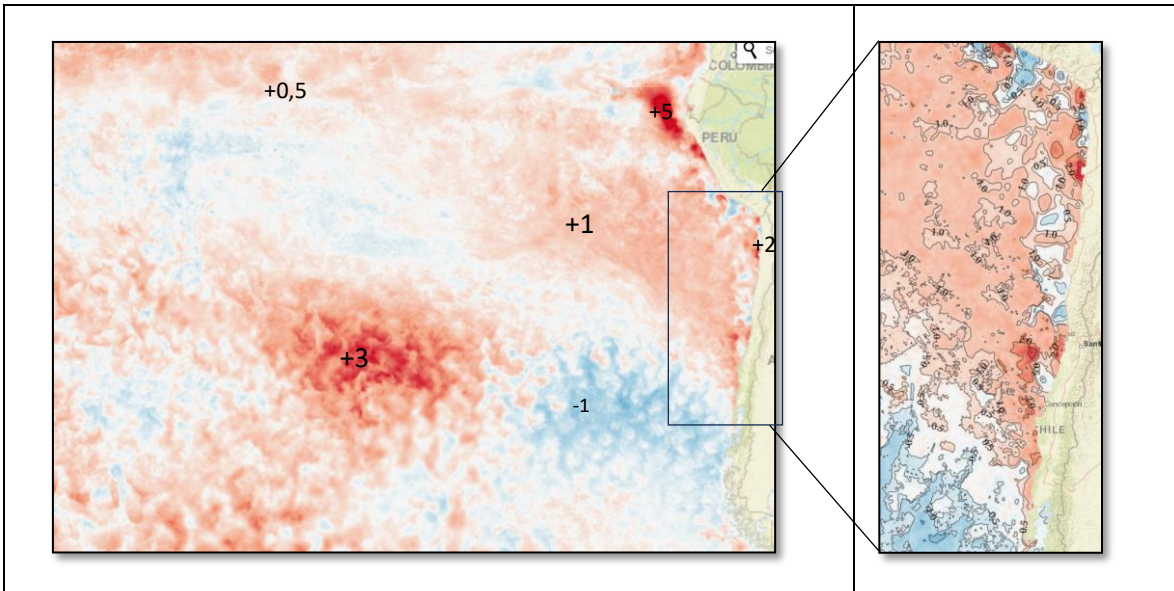


Figura 2. ATSM del océano Pacífico - costa sudamericana durante el 31 de marzo de 2026. La información de la ATSM fue extraída del producto MUR, calculado en base a la climatología de TSM satelital del periodo 2002 - 2026, provenientes de la plataforma SAPO IFOP (Chile).

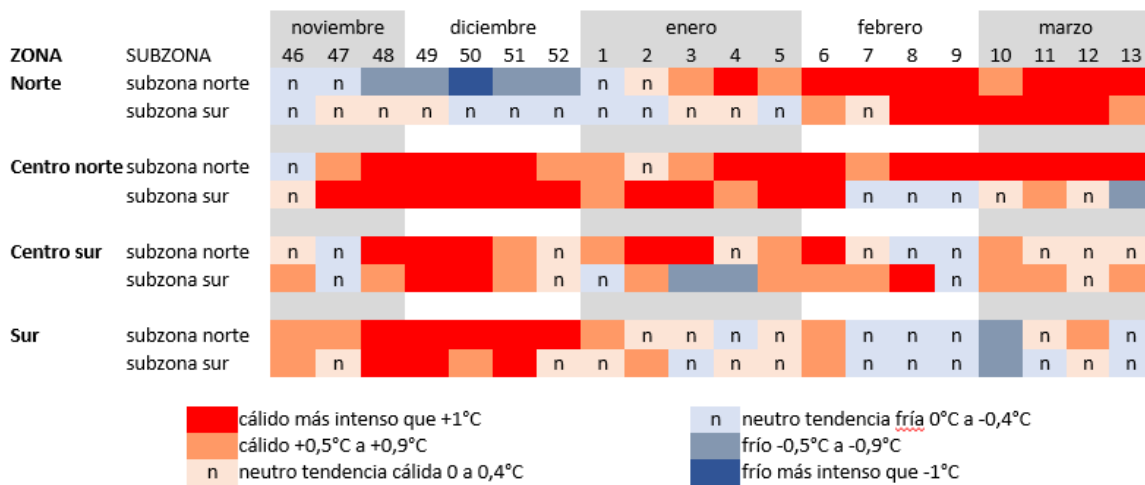


Figura 3. Desarrollo de las condiciones oceanográficas superficiales semanales, de acuerdo a la ATSM por subzona en las zonas de Chile: NORTE, CENTRO-NORTE, CENTRO-SUR y SUR. Comprende el periodo de las últimas 20 semanas (entre semana 46: segunda semana de noviembre de 2025 y semana 13: cuarta semana de marzo de 2026).

Referencias

NOAA, 2026. National Oceanic and Atmospheric Administration from U.S.A. 2026. El Niño/Southern Oscillation (ENSO), recent evolution. Current status and predictions. 12 de marzo de 2026. Disponible en: https://www.cpc.ncep.noaa.gov/products/analysis_monitoring/enso_disc_mar2026/ensodisc_Sp.pdf

SAPO. Sistema de Alerta, Predicción y Observación del Instituto de Fomento Pesquero, Chile. Disponible en: <https://sapo.ifop.cl/>